

УДК 548.1

КОНСТРУИРОВАНИЕ ФРАКТАЛЬНЫХ НАНОСТРУКТУР НА ОСНОВЕ СЕТОК КЕПЛЕРА–ШУБНИКОВА

© 2013 г. В. В. Иванов, В. М. Таланов

Южно-Российский государственный технический университет, Новочеркасск
E-mail: valtalanov@mail.ru

Поступила в редакцию 13.02.2012 г.

Предложена система информационных кодов для детерминистических фрактальных решеток и множеств мультифрактальных кривых. Методом итерационного модулярного дизайна получены серии детерминистических фрактальных решеток с генераторами в виде фрагментов 2D-структур и серии мультифрактальных кривых (на основе некоторых сеток Кеплера–Шубникова), обладающих свойствами канторова множества. Определены основные характеристики фрактальных структур и их лакунарные спектры. Сформулирован принцип иерархии модулей регулярных фрактальных структур.

DOI: 10.7868/S0023476113030077

ВВЕДЕНИЕ

Известно, что кристаллическая структура любого вещества может быть представлена в виде структурных фрагментов – модулей, определенным образом упорядоченных в 3D-пространстве [1–14]. Данное утверждение можно считать формулировкой *принципа модульного строения кристаллов*. Использование этого принципа лежит в основе большинства методов модульного дизайна структур кристаллов, наноструктур и наноструктурированных материалов [13–25].

Некоторые структуры имеют составной характер и слагаются из модулей – “кирпичиков” для более сложных фрагментов этих же структур, т.е. модулей другого, более высокого иерархического уровня [13, 14, 18–30]. В частности, в наноматериале B_6O строительным модулем является B_{12} -икосаэдр, а центры 12-ти изолированных и слегка деформированных икосаэдров, упакованных вокруг центрального икосаэдрического модуля, образуют кубооктаэдр {3434} [25]. В структуре ромбоэдрического β -бора вокруг центрального икосаэдрического кластера B_{12} расположены 12 других B_{12} -икосаэдров, центры которых образуют вершины суперикосаэдра {33333}. В структуре содалита $Na_4Al_3(SiO_4)_3Cl$ тетраэдрические структурные единицы TX_4 объединяются в супертетраэдроны состава $T_{10}X_{18}$, геометрические центры которых образуют усеченный октаэдр {466} [26]. В структуре $Cd_4In_{16}S_{33} \cdot (H_2O)_{20}(C_{10}H_{28}N_4)_{25}$ тетраэдрические структурные единицы TX_4 объединяются в более крупные супертетраэдроны состава $T_{20}X_{33}$ и образуют переплетающиеся кристобали-топодобные сетки с крупными порами [27]. На основании этих и других данных сформулирован *принцип структурной иерархии модулей* [29, 30].

Для модулярных структур, т.е. структур, состоящих из одинаковых ячеек – модулей, удовлетворяющих определенным топологическим условиям [31–35], отмеченные выше принципы в общем случае могут быть сформулированы следующим образом.

Принцип модулярного строения кристаллов: структура любого вещества может быть представлена из модулей с определенными топологическими характеристиками, позволяющими получить вполне определенное множество генетически связанных между собой модулярных структур, отличающихся от инициальной структуры позиционной и ориентационной упорядоченностью модулей в 3D-пространстве [34]. В соответствии с этим принципом разработан метод комбинаторного модулярного дизайна, реализованный на примере получения множества модулярных структур шпинелеподобных фаз [33–35].

Принцип иерархии модулей модулярных структур: модулярная структура вещества может быть представлена в виде множества определенных модулярных структур, модули которых принадлежат разным уровням структурной иерархии. В соответствии с этим принципом разработан метод итерационного модулярного дизайна 2D-наноструктур и фрактальных структур в топологическом 2D-пространстве [36–39].

В настоящей работе проанализирована возможность проведения итерационного модулярного дизайна на примере регулярных фрактальных структур [37, 39] и с учетом принципа структурной иерархии модулей предложено уточнение модели формирования детерминистических фрактальных решеток и упорядоченных в 2D-пространстве мульти множеств замкнутых фрактальных кривых.

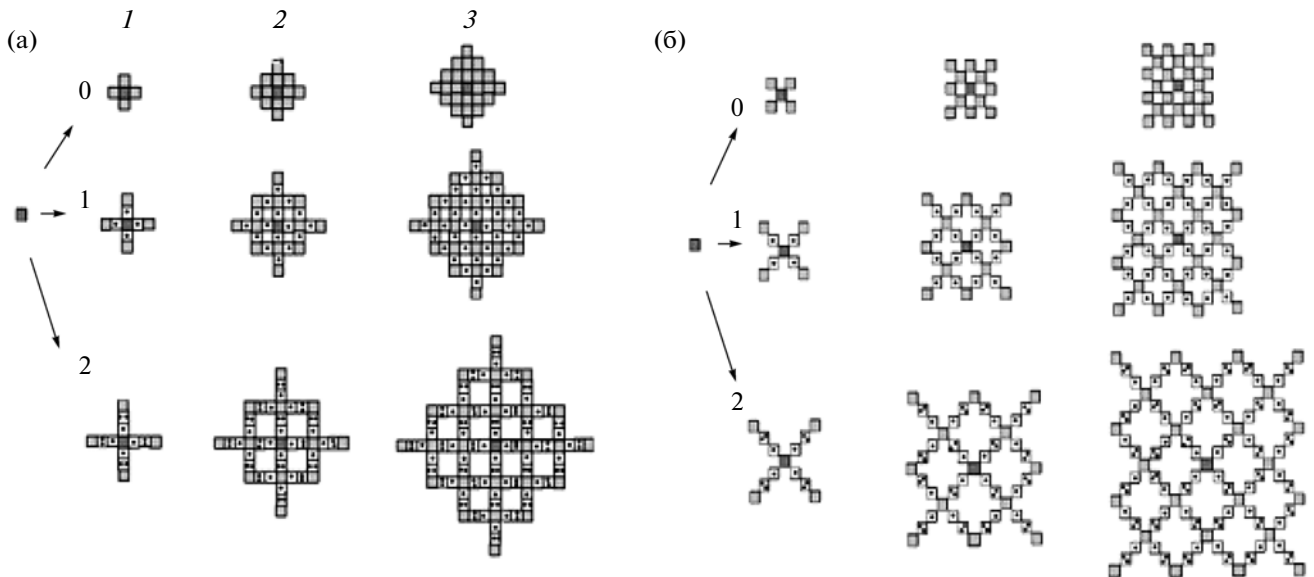


Рис. 1. Динамика роста иерархических тетрагональных $R_{\{4\}im}$ -структур, различающихся количеством $\{4\}$ -гонов-“звездьев” ($m = 0, 1$ и 2) и способом ветвления $\{4\}$ -гонов-“ядер” (с помощью сторон $i_r = 4$ (а) или с помощью вершин $i_v = 4$ (б)) [39].

ПРИНЦИПЫ МОДУЛЯРНОГО СТРОЕНИЯ РЕГУЛЯРНЫХ ФРАКТАЛЬНЫХ СТРУКТУР

Представителями фракталов с конечным ветвлением и определенной симметрией являются, в частности, детерминистические фрактальные структуры, построенные из затравки в виде определенного фрагмента 2D-структуры. Конструкция таких фрактальных структур полностью описывается заданием геометрического генератора и итерационной процедуры. Бесконечное повторение процедуры итерации дает полную фрактальную структуру [40, 41].

Геометрическим генератором фрактальных структур может быть фрагмент 2D дважды периодических полигонных $R_{\{Pg\}im}$ -структур, в частности тетрагональных $R_{\{4\}im}$ -структур, соответствующих 2D-сетке 4444 или ее производным [36, 38, 39]. Динамика образования простых $R_{\{Pg\}im}$ -структур из полигонов $\{4\}$ и особенности их эволюции в процессе роста описывают их топологические характеристики. Фрагменты некоторых $R_{\{4\}im}$ -структур представлены на рис. 1. Только структуры с минимальными значениями параметра m состоят из полигонов с топологически идентичными вершинами. Предполагается, что в вершинах $\{4\}$ -гона могут располагаться атомы, комплексные частицы, или определенные локальные совокупности атомов одного или нескольких сортов — молекулы, кластеры.

Известны фрактальные кривые, которые могут быть получены методом итераций, заданных соответствующим генератором, и в бесконечном их повторении имеют бесконечную длину и пол-

ностью заполняют 2D-пространство (кривая Гильберта, кривая дракона, кривая Пеано и др.) [42–48]. Наряду с ними известны также замкнутые фрактальные кривые, полученные аналогичным итерационным методом, длина которых при бесконечном выполнении итерационного закона также становится бесконечной, а их площадь изменяется, но принимает определенное конечное значение (например, снежинка Коха, построенная на треугольнике) [42–44, 46, 48].

Главной особенностью фрактальных структур является их иерархическая организованность в соответствующем метрическом пространстве. Свойство бесконечного самоподобия означает точную масштабную инвариантность геометрически регулярной фрактальной структуры относительно набора последовательных операций отображений подобия методом итераций.

Формально в рамках итерационного метода существуют два принципиально разных подхода к формированию регулярной фрактальной структуры F : инъективный и сюръективный [49–51]. В рамках инъективного подхода предполагается вложение образа сжатой структуры ImF_i в подобный элемент структуры F_i . В результате бесконечной итерационной процедуры образы ImF_i компактной фрактальной структуры $F^{(2)}$ становятся точками. В рамках сюръективного подхода предполагается такое расширение генератора, при котором возможно вложение его прообраза G_i в структурный элемент подобного ему образа ImG_i . В результате бесконечной итерационной процедуры полный образ ImG_i бесконечно размерной

фрактальной структуры $F^{(2)}$ содержит упорядоченные в 2D-пространстве структурные элементы в форме генератора G . Отметим, что в обоих подходах при конечном числе итераций формируются предфракталы (компактные или конечноразмерные соответственно), состоящие из самоподобных модулей. Однако только при сюръективном подходе к формированию предфракталов процесс их образования подобен росту поверхностных фрактальных структур из одинаковых модулей, размеры которых коррелируют с размерами молекул, атомных кластеров, наночастиц и других атомных ассоциатов.

Замкнутые фрактальные кривые задаются на прямолинейном отрезке, в частности на стороне $\{n\}$ -го гона генератором в виде ломаной кривой с определенным коэффициентом самоподобия. При последовательном инъективном отображении ее образов в отрезки-прообразы на периметре образуется замкнутая предфрактальная кривая. Если в качестве инициального множества рассматривать некоторые 2D-сетки Кеплера–Шубникова [52], узлы которых удовлетворяют условию топологической эквивалентности окружения $\{n\}$ -телами и лакунами, то получим соответствующее упорядоченное в 2D-пространстве множество фрактальных кривых $\{F^{(1)}\}$. Их пересечения образуют множество упорядоченных в 2D-пространстве точек, в общем случае изоморфное множеству узлов инициальной 2D-сетки. Множество $\{F^{(1)}\}$ можно одновременно рассматривать в качестве квазифрактальной границы как растущей поверхностной фазы, так и остального, лакунарного пространства, которое является дополнением до 2D-пространства. В некоторых случаях лакунарные кривые распадаются на множества самоподобных фрактальных кривых, обладающие свойствами канторова множества [49, 50].

Результаты предварительного анализа особенностей модулярного строения регулярных фрактальных структур [40–48] позволяют сформулировать следующие принципы.

Принцип модулярного строения регулярных фрактальных структур: любая регулярная фрактальная структура может быть представлена из одинаковых минимальных модулей, строение и форма которых содержат структурную информацию как о самой фрактальной структуре, так и о любом ее предфрактале. Такие модули выполняют функцию генератора $G \equiv F_1$ модулярной фрактальной структуры и, в частности, любого ее предфрактала n -го поколения: $F_n(F_1)$, где n – количество итераций.

Принцип иерархии модулей регулярных фрактальных структур: самоподобная (регулярная) фрактальная структура может быть представлена как модулярная из любых ее предфракталов. В частности, модулярное строение каждого пред-

фрактала n -го поколения F_n может быть представлено модулями – предфракталами предыдущих поколений: $F_n(F_{n-1}(F_{n-2}(F_{n-3} \dots (F_1) \dots)))$, а сами модули классифицируются по сложности в иерархической последовательности

$$F_n \subset F_{n-1} \subset F_{n-2} \subset F_{n-3} \subset \dots \subset F_1.$$

Сформулированные принципы положены в основу эволюционной модели формирования детерминистических фрактальных структур с дробной размерностью и упорядоченных в 2D-пространстве мульти множеств замкнутых фрактальных кривых. Отметим, что лакунарные спектры фракталов и мультифракталов могут представлять интерес в связи с определением вероятных распределений по размерам микро- и наночастиц, захваченных в процессе роста основной поверхности фазы.

ДЕТЕРМИНИСТИЧЕСКИЕ ФРАКТАЛЬНЫЕ РЕШЕТКИ

Эволюционная модель формирования детерминистических фрактальных решеток. Процедура формирования генератора G из квадратного фрагмента тетрагонной $R_{\{4\}im}$ -структуры определяется законом транскрипции $T_{ik}: G = L_{N\{4\}, i, k}(N\{4\}_I, T_{ik})$, а процедура получения самоподобных фрактальных решеточных n -структур (предфракталов) – итерационным законом T_n :

$$F_{N\{4\}ik} = G(T_n) = L_{N\{4\}, i, k}(N\{4\}_I, T_{ik}, T_n),$$

где N – количество тетрагонов $\{4\}$ в квадратном фрагменте пространства со стороной b ; I – характеристика “ядра” двумерной тетрагонной структуры, которая определяла способ его ветвления (посредством вершин i_v или сторон i_r тетрагона); $k = b^{-1}$ – коэффициент самоподобия генерирующей фрактальной $F_{N\{4\}ik}$ -структуры; n – целочисленный индекс, характеризующий количество применяемых итераций, где $n = 1$ соответствует генератору.

Фрактальная (хаусдорфова) размерность D решетки в соответствии с [37] может быть определена из соотношения $D = \ln N(\ln b)^{-1}$, где N – число тетрагонов в генераторе, b – сторона генератора (в относительных единицах). Тогда если $(b^2 - N)$ – число лакун в квадратном генераторе, то $D = \ln(b^2 - N)(\ln b)^{-1}$ – лакунарная размерность фрактальной решетки, характеризующая возможное дополнение данной фрактальной решетки до 2D-тетрагонной $R_{\{4\}im}$ -структуры. Это дополнение может образоваться в процессе формирования основной фрактальной $F_{N\{4\}ik}$ -структуры за счет “захвата” структурных элементов с определенным набором (спектром) размерных характеристик и в этом случае также, по-видимому, будет обладать фрактальными свойствами.

Таблица 1. Характеристики некоторых фрактальных иерархических $F_{N\{4\}, i, k}$ -структур, основанных на модулях тетрагональных $R_{\{4\}im}$ -структур

Характеристики генератора $G = L_{N\{4\}, i, k}$					Размерность фрактальной структуры	
Информационный код	Форма	Симметрия, G_0^2	N	$b^2 - N$	Локальная, $D_{BL} = D$	Лакунарная, D_G
$L_{5\{4\}, 4(r), 1/3}$		$4mm$	5	4	1.465	1.262
$L_{5\{4\}, 3(r), 1/3}$		m	5	4	1.465	1.262
$L_{5\{4\}, 2(r), 1/3}$						
$L_{5\{4\}, 4(v), 1/3}$		$4mm$	5	4	1.465	1.262
$L_{5\{4\}, 2(v), 1/3}$		m	5	4	1.465	1.262
$L_{5\{4\}, 1(v), 1/3}$						
$L_{20\{4\}, 4(r), 1/6}$		$4mm$	20	16	1.465	1.262
$L_{20\{4\}, 4(v), 1/6}$						
$L_{20\{4\}, 4(r), 1/6}$		$4mm$	20	12	1.548	1.431
$L_{20\{4\}, 4(v), 1/6}$				52	1.114	1.770

В табл. 1 приведены основные характеристики представителей двух групп фрактальных $F_{N\{4\}, i, k}$ -структур (при N равном 5 и 20).

Анализ характеристик детерминистических фрактальных решеток на квадратной сетке. $F_{5\{4\}, i, k}$ -структуры, основанные на разных фрагментах тетрагональных $R_{\{4\}im}$ -структур, различаются информационными кодами генераторов и их симметрией, однако по остальным характеристикам, в том числе и фрактальным размерностям, не идентифицируются. При этом очевидно, что $F_{5\{4\}, i, k}$ -структуры существенно разные (рис. 2). В определенной степени такой же вывод можно сделать и относительно $F_{20\{4\}, i, k}$ -структур (рис. 3).

Различными являются и дополнения этих структур. Это становится очевидным после сравнительного анализа их лакунарных спектров на диаграммах вида $\lg N_{ln} - \lg d_{ln}^{oth}$, где N_{ln} – число лакун l -й группы с определенным относительным диаметром d_{ln}^{oth} для предфрактала n -го поколения, $d_{ln}^{oth} = (S_{ln}^{oth})^{1/2}$ и в общем случае определяется из относительной площади лакун [42]. Все $F_{5\{4\}, i, k}$ -структуры различаются по своим лакунарным спектральным характеристикам, которые в определенном смысле можно считать диагностическими.

На диаграммах вида $(N/b^2) - D$ значения фрактальных размерностей анализируемых F -структур

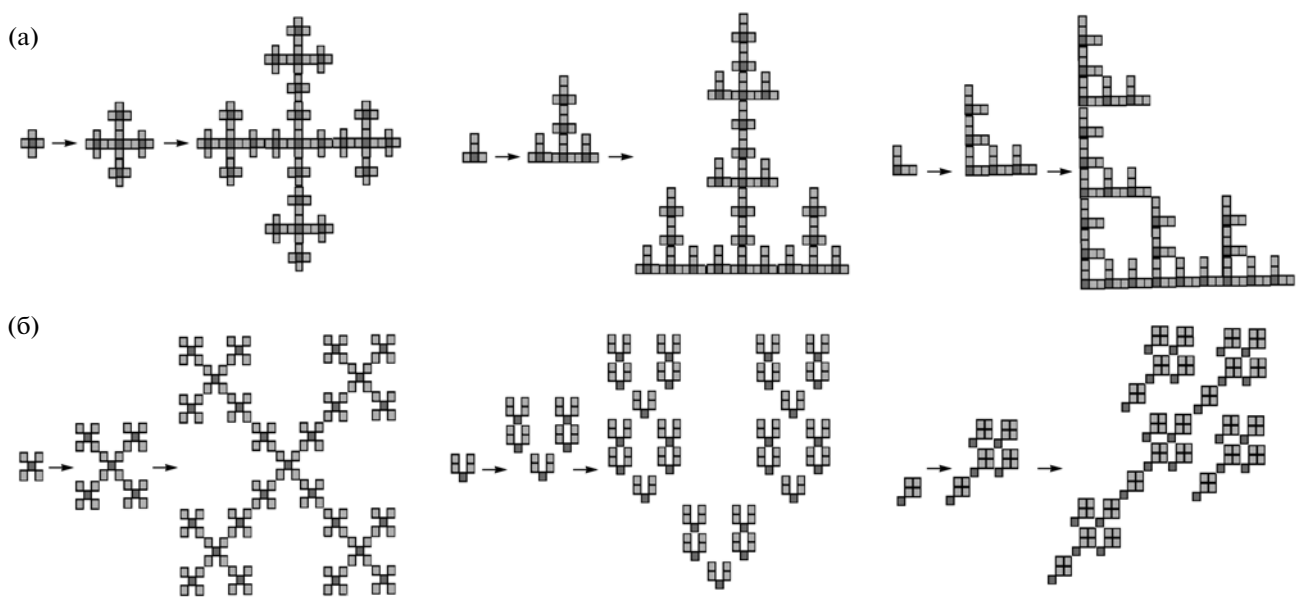


Рис. 2. Предфракталы 2-го и 3-го поколения, полученные из генераторов $L_{5\{4\}, 4(r), 1/3}$ (а), $L_{5\{4\}, 4(v), 1/3}$ (известный как фрактал Вичека [41]) (б) и производных от них типа $L_{5\{4\}, I, 1/3}$.

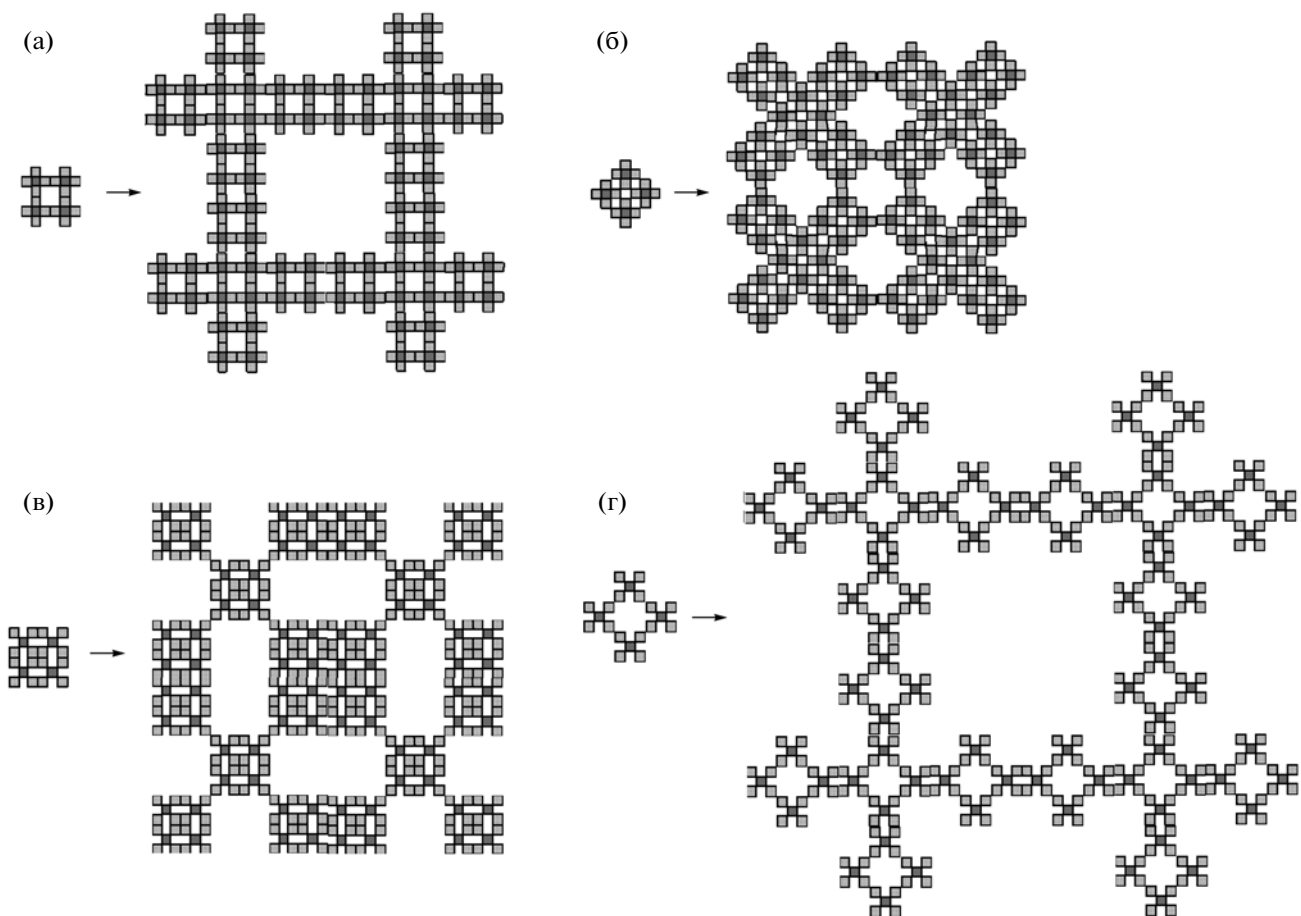


Рис. 3. Детерминистические фрактальные решетки с симметрией $4mm$, полученные за один шаг итерационного построения из соответствующего генератора: $L_{20\{4\}, 4\otimes, 1/6}$ (а), $L_{20\{4\}, 4\otimes, 1/6}$ (б), $L_{20\{4\}, 4(v), 1/6}$ (в) и $L_{20\{4\}, 4(v), 1/6}$ (г).

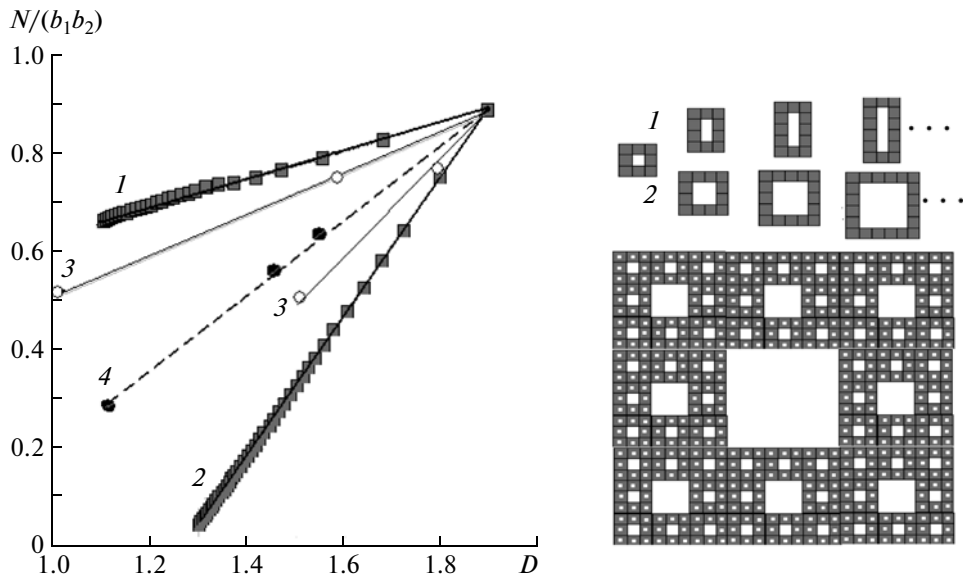


Рис. 4. Диаграмма вида $(N/b^2)-D$ для двух гомологических серий фрактальных структур $F_{(6+4n)\{4\}}, I, 1/(2+n)$ (1), производных от ковра Серпинского, и для анализируемых детерминистических фрактальных решеток $F_{5\{4\}}, i, 1/3$ (3) и $F_{20\{4\}}, i, 1/6$ (4).

и известной структуры $F_{8\{4\}, 3\circledast, 1/3}$, представляющей собой классический квадратный ковер Серпинского со значением $k = 1/3$ [38], находятся на одной прямой (рис. 4). Необходимо отметить, что эта прямая занимает промежуточное положение между двумя другими прямыми, которые аппроксимируют два множества значений для соответствующих n -х членов гомологических рядов ковров Серпинского: $F_{(6+2n)\{4\}, I, 1/(3(2+n))}^{1/2}$ -структур и $F_{(4+4n)\{4\}, I, 1/(2+n)}$ -структур ($n = 1, 2, 3, \dots$) [37, 38].

Полученные с помощью итерационного модульного дизайна на тригонной сетке детерминистические фрактальные решетки с $F_{N\{3\}, i, k}$ -структурами также соотносятся с гомологической серией фрактальных структур вида $F_{(6+2n)\{3\}, I, 1/(3(2+n))}^{1/2}$ и $F_{(3+3n)\{3\}, I, 1/(2+n)}$ и классической треугольной косынкой Серпинского $F_{3\{3\}, 3(r), 1/3}$ [37, 38].

Отметим, что многообразие формально возможных детерминистических фрактальных решеток, полученных методом итерационного модульного дизайна, определяется многовариантностью разбиения 2D-пространства (образами для которого могут служить сетки Кеплера и их производные) и многовариантностью выбранных в качестве генератора фрагментов соответствующих однослойных и двухслойных полигонных 2D-структур. Данному многообразию детерминистических фрактальных решеток изоморфно многообразие наборов их геометрико-топологических характеристик, в том числе лакунарных спектров. Последние могут быть использованы как аппроксиманты для интерпретации особенностей статистических распределений микроДиаграмма вида $(N/b^2)-D$ для двух гомологических серий фрактальных структур $F_{(6+4n)\{4\}}, I, 1/(2+n)$ (1), производных от ковра Серпинского, и для анализируемых детерминистических фрактальных решеток $F_{5\{4\}}, i, 1/3$ (3) и $F_{20\{4\}}, i, 1/6$ (4). и наночастиц определенных фаз в поверхностных слоях гетерофазных материалов.

МУЛЬТИФРАКТАЛЬНЫЕ МНОЖЕСТВА ЗАМКНУТЫХ КРИВЫХ

Процедура формирования генератора G на отрезке — стороне многоугольника $\{Pg\} = \{N\}$ — задается законом $T_k: G = L_{K(1/l)}$, а процедура получения фрактальной кривой — итерационным законом T_i . Тогда фрактальная кривая n -го поколения: $F_{\{Pg\}, n} = G(T_{i=n}) = F_{K(1/l)}\{Pg\}_n(G_2^2)$, где K — коэффициент самоподобия, n — количество итераций (значение $n = 0$ соответствует исходному многоугольнику, $n = 1$ — генератору), G_2^2 — симметрия фигуры, образованной замкнутой фрактальной кривой, в соответствии с обозначениями, принятыми в [53].

Рассмотрим некоторые свойства множеств генерируемых замкнутых фрактальных кривых вида $F_{K(1/l)}\{Pg\}(T - G_2^2)$, образующихся на некоторых двухцветных 2D-сетках Кеплера–Шубникова [52].

Фрактальные кривые с генератором $L_K(3/4)$ обладают следующими свойствами [40, 41]:

- длина кривой на i -м шаге итерации $L_{F\{N\}, n} = (1/l)^n L_{\{N\}, 0}$;
- площадь кривой, построенной на многоугольнике $\{N\}$ со стороной a и площадью $S_{\{N\}, 0}$, зависит от количества итераций n , т.е. $S_{F\{N\}, i} = S_{\{N\}, 0} \pm 3^{1/2} (a/6)^2 \sum_{i=0}^{\infty} (4K)^i$, где знаки \pm указыва-

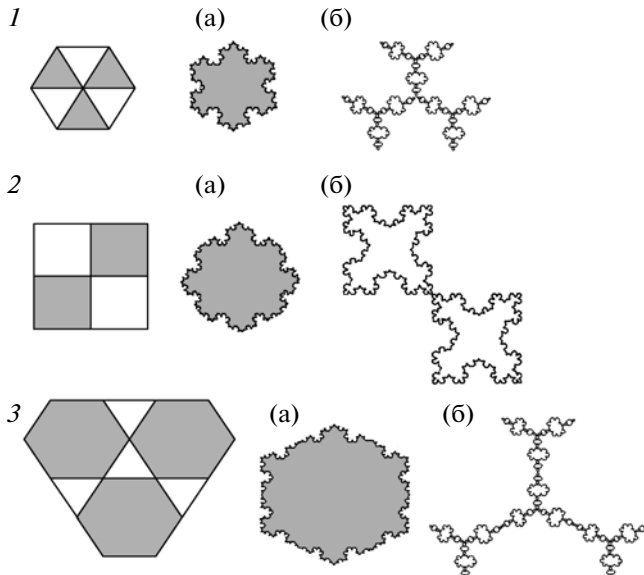


Рис. 5. Формы снежинок Коха $F_{K(4/3)}\{Pg\}$ (а) и лакунарных замкнутых кривых $MF_{\bar{K}(4/3)}\{Pg\}$ (б), соответствующих фрагментам сеток Кеплера 3^6 (1), 4^4 (2) и 3636 (3).

ют два возможных варианта изменения площади многоугольника $\{N\}$ при итерации;

– размерность кривой D определяется из уравнения $N = (1/l)^D$, где генератор $1/l = 4/3$, следующим образом: $D = \ln 4/\ln 3 = 1.2618 > 1$.

Множества замкнутых фрактальных кривых $MF_{K(4/3)}\{Pg\}(G_2^2)$, построенные на периметре $\{N\}$ -тел (темных $\{Pg\}$), образуют совокупности фигур, представляющих собой упаковки определенных снежинок Коха в 2D-пространстве. Множества замкнутых фрактальных кривых $MF_{\bar{K}(4/3)}\Sigma\{Pg\}(G_2^2)$, построенные на периметре $\{N\}$ -лакун (светлых $\{Pg\}$), образуют совокупность лакунарных фигур, дополняющие соответствующие множества $MF_{K(4/3)}\{Pg\}(G_2^2)$ до 2D-пространства (рис. 5).

Отметим, что в случае треугольных лакун генерируемое с помощью генератора Коха множество лакунарных кривых представляет собой результат его расслоения на мульти множество кривых $MF_{K(4/3)}\Sigma\{Pg\}(G_2^2)$, каждая из которых состоит из определенного множества самоподобных (с коэффициентом подобия $2/9$) замкнутых кривых в виде двух сросшихся с частичным наложением снежинок Коха $F_{K(4/3)}\{3\}(p6mm)$. На рис. 6 представлены изображения множеств лакунарных кривых – мультифракталов третьего поколения, полученных внутри одной, двух и четырех тригональных лакун, характерных для некоторых 2D-сеток. Очевидно, что конфигурация и основные геометрико-топологические характеристики образующихся мульти множеств замкнутых лаку-

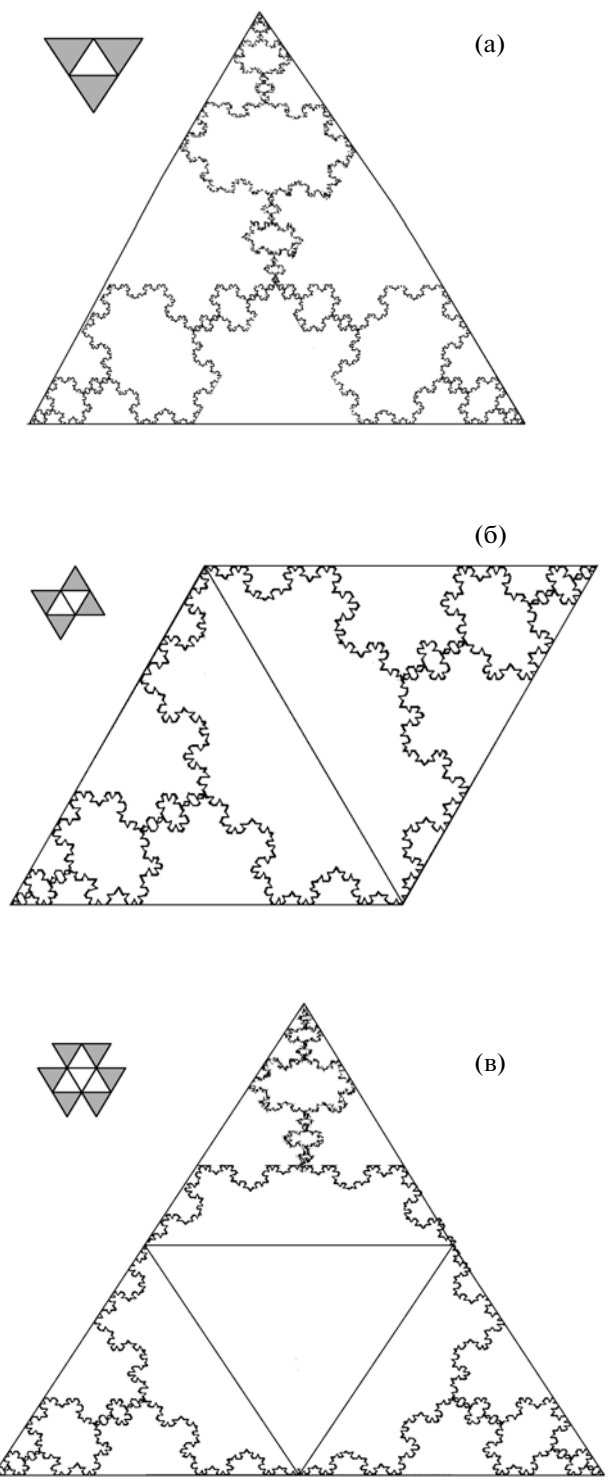


Рис. 6. Формирование множества фрактальных кривых $MF_{\bar{K}(4/3)}\{3\}(p3ml)$ (совокупности из трех мультифракталов $MF_{\bar{K}(4/3)}2\{3\}(p2mm)$) внутри $\{3\}$ -лакуны (а); $MF_{(K(4/3))}2\{3\}(p2mm)$ внутри $2\{3\}$ -лакуны (б); $MF_{\bar{K}(4/3)}4\{3\}(p2mm)$ (совокупности $\{6\}$ -снежинки Коха $F_{K(4/3)}\{6\}(p6mm)$) и трех мультифракталов $MF_{\bar{K}(4/3)}2\{3\}(p2mm)$ внутри $4\{3\}$ -лакуны (в).

Таблица 2. Характеристики некоторых иерархических структур из фрактальных кривых, полученных на двухцветных сетках Кеплера–Шубникова, содержащих треугольны

Сетка Кеплера и ее симметрия	Характеристика сетки Кеплера–Шубникова		Характеристика структур из фрактальных кривых	
	Форма фрагмента	Код 2D-структуры	$F_{K(4/3)}\{Pg\}(G_2^2)$ из $\{Pg\}$ -тел	$MF_{\bar{K}(4/3)} \Sigma\{Pg\}(G_2^2)$ из $\{Pg\}$ -лакун
333333 ($p6mm$)		$P\{3^6\}(3(3))(p3m1)$	плотная упаковка снежинок Коха $F_{K(4/3)}\{3\}(p6mm)$	упорядоченное множество мультифракталов $MF_{\bar{K}(4/3)} \{3\}(p3m1)$
		$P\{3^6\}(1(3)-2(2))(p3)$	пористая упаковка снежинок Коха $F_{K(4/3)}\{3\}(p6mm)$	упорядоченное множество мультифракталов $MF_{\bar{K}(4/3)} \{3\}(p3m1)$ и $MF_{\bar{K}(4/3)} 4\{3\}(p3m1) (1 : 1)$
		$P\{3^6\}(1(3)-2(2))(pm)$	пористая упаковка снежинок Коха $F_{K(4/3)}\{3\}(p6mm)$	
33336 ($p6$)		$P\{3^46\}(6(1)+3(1))(p6)$	упаковка снежинок Коха $F_{K(4/3)}\{3\}(p6mm)$ и $F_{K(4/3)}\{6\}(p6mm) (2 : 1)$	упорядоченное множество мультифракталов $MF_{\bar{K}(4/3)} 2\{3\}(p2mm)$
34334 ($p4gm$)		$P\{3^34^2\}(4(2))(p4gm)$	упаковка снежинок Коха $F_{K(4/3)}\{4\}(p4mm)$	упорядоченное множество мультифракталов $MF_{\bar{K}(4/3)} 2\{3\}(p2mm)$
3464 ($p6mm$)		$P\{34^26\}(4(2))(p6mm)$	пористая упаковка снежинок Коха $F_{K(4/3)}\{4\}(p4mm)$	упорядоченное множество мультифракталов $MF_{\bar{K}(4/3)} \{3\}(p3m1)$ и $MF_{\bar{K}(4/3)} \{6\}(p6mm) (2 : 1)$
3636 ($p6mm$)		$P\{3^26^2\}(6(2))(p6mm)$	плотная упаковка снежинок Коха $F_{K(4/3)}\{6\}(p6mm)$	упорядоченное множество мультифракталов $MF_{\bar{K}(4/3)} \{3\}(p3m1)$

нарных кривых полностью определяются соответствующими характеристиками двухцветных сеток Кеплера–Шубникова, содержащими светлые треугольники ($\{3\}$ -лакуны) (табл. 2).

Некоторые характеристики фрактальных структур, изоморфных соответствующим сеткам Кеплера–Шубникова, представлены в табл. 2. Канторово множество точек M , общих для смежных фрактальных кривых, и само множество фрактальных кривых имеют одинаковую мощность, равную мощности континуума [51].

На рис. 7 представлены некоторые изоморфные определенным сеткам Кеплера–Шубникова упорядоченные в 2D-пространстве множества фрактальных структур. Эти множества одновременно могут рассматриваться и как упаковки фракталов в виде определенных снежинок Коха $F_{K(4/3)}\{Pg\}(G_2^2)$, и как упорядоченные множества лакунарных мультифракталов $MF_{\bar{K}(4/3)}\{3\}(p3m1)$ или $MF_{\bar{K}(4/3)} 2\{3\}(p2mm)$.

Отметим, что для всех представленных упорядоченных множеств лакунарных фрактальных

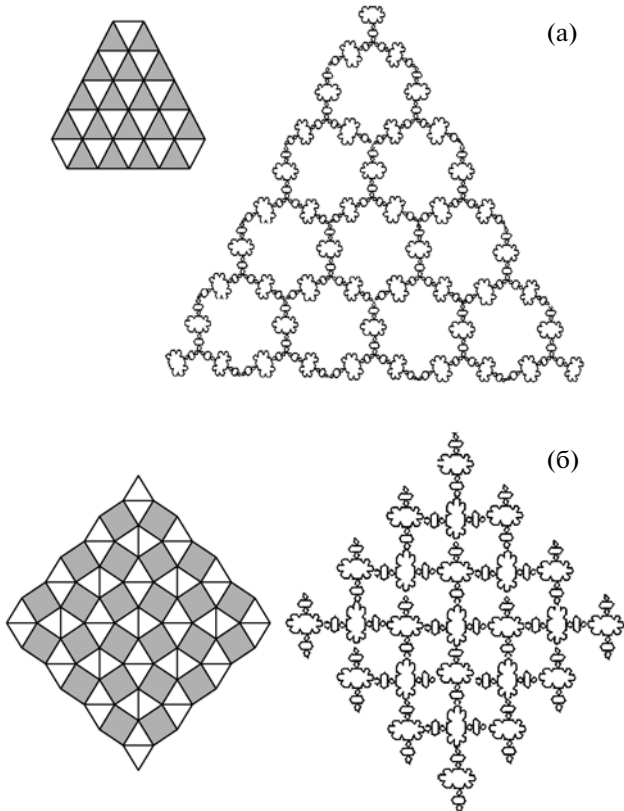


Рис. 7. Сетки 3^6-(3(3)) (а), 343^24-(4(2)) (б), соответствующие упорядоченные множества плотноупакованных снежинок Коха $F_{K(4/3)\{3\}}(p6mm)$ (а), $F_{K(4/3)\{4\}}(p4mm)$ (б) и дополняющих их до 2D-пространства лакунарных мультифракталов $MF_{\bar{K}(4/3)}\{3\}(p3ml)$ (а) и $MF_{\bar{K}(4/3)}\{2\}(p2mm)$ (б).

кривых характерны ажурные решеточные конструкции, структурным элементом которых являются самоподобные фракталы.

Размерность лакунарных структур, образующихся внутри тригонов, может быть определена следующим образом: $\text{Dim } F^{(2)} = \lim_{i \rightarrow \infty} k^{1/2} \sum S_i$. Для множеств фрактальных кривых $MF_{\bar{K}(4/3)}\{3\}$, $MF_{\bar{K}(4/3)}\{2\}$ и $MF_{\bar{K}(4/3)}\{4\}$ относительные площади поверхности, занятые лакунами, соответственно равны $\sum S_i = 3\sum 2^{i-1}k^i$, $\sum S_i = 5k + \sum 2^{i-2}k^{i-1}$ и $\sum S_i = 8k + 3\sum 2^{i-4}k^{i-1}$ с коэффициентом самоподобия $k = 1/9$.

Для косынки Серпинского $F_{3\{3\}, 3(r), 1/3}$ и производных от нее двух фрактальных структур гомологической серии $F_{(3+3n)\{3\}, 1, 1/(2+n)}$ при $n = 1$ и 2 лакунарная размерность определяется проще: $\text{Dim } F^{(2)} = k^{1/2} \sum S_i$, где относительные площади поверхности, занятые лакунами, соответственно равны $\sum S_i = \sum 3^{i-1}k^i$ ($k = 1/4$), $\sum S_i = 3\sum 6^{i-1}k^i$ ($k = 1/9$) и $\sum S_i = 6\sum 10^{i-1}k^i$ ($k = 1/16$).

Сравнительным анализом спектров установлено подобие лакунарных характеристик множеств

фрактальных кривых $MF_{\bar{K}(4/3)}\{3\}$, $MF_{\bar{K}(4/3)}\{2\}$ и $MF_{\bar{K}(4/3)}\{4\}$ с фрактальной структурой $F_{6\{3\}, 1, 1/3}$, производной от классической косынки Серпинского.

В предположении, что инициальная лакуна, в которой могут разместиться атомы, имеет размер не более 100 нм, физически фрактальными структурами могут быть предфракталы не выше 3-го поколения (для классической салфетки Серпинского – не выше 6-го поколения).

Таким образом, полученные множества замкнутых фрактальных кривых характеризуются определенными свойствами. Законом итерации определяется размерность фрактальной кривой. Мультифрактальные множества, полученные на соответствующих множествах 2D-сеток, могут служить аппроксимантами для описания, в частности распределения ультрадисперсных частиц фаз и особенностей конфигурации межфазных границ на поверхности материалов.

ВЫВОДЫ

Сформулированы принципы модулярного строения фрактальных структур в 2D-пространстве. Предложена система информационных кодов для детерминистических фрактальных решеток $F_{N\{4\}ik} = L_{N\{4\}, i, k}(N\{4\}_i, T_{ik}, T_n)$ и множеств мультифрактальных кривых $MF_{K(4/3)}\{Pg\}(G_2^2)$.

Предложена информационно-итеративная модель формирования детерминистических фрактальных решеток в 2D-пространстве с помощью генераторов $L_{N\{4\}, i, k}$ в виде симметричного фрагмента тетрагональной $R_{\{4\}im}$ -структурой. Получены два множества $F_{N\{4\}, i, k}$ -структур с коэффициентами самоподобия $k = 1/3$ и $1/6$. Показано, что информационный код генератора в виде $L_{N\{4\}, i, k}$ следует дополнить информацией о локальной симметрии (G_0^2) генератора. Детерминистические фрактальные решетки могут служить матрицами для формирования дискретных фрактальных структур, обладающих свойствами, подобным свойствам канторова множества. Показана возможность образования простейших предфракталов: фракталов $F_{5\{4\}, i, 1/3}$ 7-го поколения и $F_{20\{4\}, i, 1/6}$ 3-го поколения.

Методом итерационного модулярного дизайна получены *серии мультифрактальных кривых* (на основе ряда сеток Кеплера–Шубникова), обладающих свойствами канторова множества. Определены основные характеристики фрактальных структур и их лакунарные спектры, которые представляют интерес, в частности, в связи с определением вероятных распределений по размерам микро- и наночастиц, захваченных в процессе роста основной поверхностной фазы.

Результаты работы могут быть использованы в области теоретической и структурной кристаллохимии поверхности кристаллов и фаз, образующихся на границе раздела твердое тело—жидкость и твердое тело—газ.

СПИСОК ЛИТЕРАТУРЫ

1. Бокий Г.Б. Кристаллохимия. М.: Наука, 1960. 358 с.
2. Ормонт Б.Ф. Структуры неорганических веществ. М.; Л.: Гостехиздат, 1950. 968 с.
3. Пирсон У. Кристаллохимия и физика металлов и сплавов. М.: Мир, 1977. Ч. 1. 420 с.; Ч. 2. 472 с.
4. Брэгг У., Кларингбулл Г. Кристаллическая структура минералов. М.: Мир, 1967. 391с.
5. Parthé E. Crystal Chemistry of Tetrahedral Structures. New York: Acad. Press., 1964. 349 р.
6. Нараи-Сабо И. Неорганическая кристаллохимия. Изд-во АН Венгрии, Будапешт, 1969. 504 с.
7. Carter E.W. // J. Solid State Chem. 1970. № 1. Р. 279.
8. Вайнштейн Б.К., Фридкин В.М., Инденбом В.М. Современная кристаллография. Структура кристаллов. М.: Наука, 1979. Т. 2. 360 с.
9. Белов Н.В. Очерки по структурной минералогии. М.: Недра, 1986. 360 с.
10. Асланов Л.А. Строение атомов, молекул, кристаллов. М.: МГУ, 1985. 121 с.
11. Зоркий П.М. Симметрия молекул и кристаллических структур. М.: МГУ, 1986. 232 с.
12. O'Keeffe M., Hyde B.G. // Proc. Roy. Soc. London. A. 1980. V. 295. P. 553.
13. Урусов В.С. Теоретическая кристаллохимия. М.: МГУ, 1987. 276 с.
14. Уэллс А. Структурная неорганическая химия. В 3-х т. М.: Мир, 1987/88. Т. 1. 408 с.; Т. 2. 696 с.; Т. 3. 564 с.
15. Борисов С.В. // Кристаллография. 2000. Т. 45. № 5. С. 779.
16. Смирнова Н.Л. // Кристаллография. 2004. Т. 49. № 4. С. 628.
17. Смирнова Н.Л. // Кристаллография. 2005. Т. 50. № 1. С. 16.
18. Лен Ж.-М. Супрамолекулярная химия: концепции и перспективы. Новосибирск: Наука, 1998. 334 с.
19. Илюшин Г.Д. Моделирование процессов самоорганизации в кристаллообразующих системах. М.: УРСС, 2003. 376 с.
20. Ilyshin G.D., Blatov V.A., Zakutkin Yu.A. // Acta Cryst. B. 2002. V. 58. P. 948.
21. Булынков Н.А., Тытик Д.Л. // Изв. АН. Сер. хим. 2001. № 1. С. 1.
22. Shevchenko V.Ya., Mackay A.L. // Glass Phys. Chem. 2008. V. 34. № 1. P. 1.
23. Shevchenko V.Ya., Krivovichev S.V. // Struct. Chem. 2008. V. 19. P. 571.
24. Ferey G. // J. Solid State Chem. 2000. V. 152. P. 37.
25. Hubert H., Devouard B., Garvie L.A.J. et al. // Nature. 1998. V. 391. P. 376.
26. O'Keeffe M., Eddaoudi M., Hailan Li et al. // J. Solid State Chem. 2000. V. 152. P. 3.
27. Hailan Li, Kim J., Groy T.L. et al. // J. Am. Chem. Soc. 2001. V. 123. P. 4867.
28. Шевченко В.Я., Блатов В.А., Илюшин Г.Д. // Физика и химия стекла 2009. Т. 35. № 1. С. 3.
29. Таланов В.М., Ерейская Г.П., Юзюк Ю.И. Введение в химию и физику наноструктур и наноструктурированных материалов. М.: Академия естествознания, 2008. 389 с.
30. Лорд Э.Э., Маккей А.Л., Ранганатан С. Новая геометрия для новых материалов. М.: ФИЗМАТЛИТ, 2010. 264 с.
31. Ferraris G., Makovicky E., Merlini S. Crystallography of modular structures. IUC Oxford Science Publications, 2008. 370 р.
32. Иванов В.В. Комбинаторное моделирование вероятных структур неорганических веществ. Ростов-на-Дону: СКНЦ ВШ, 2003. 204 с.
33. Иванов В.В., Таланов В.М. // Физика и химия стекла. 2008. Т. 34. № 4. С. 528.
34. Иванов В.В., Таланов В.М. // Кристаллография. 2010. Т. 55. № 3. С. 385.
35. Иванов В.В., Таланов В.М. // Журн. неорган. химии. 2010. Т. 55. № 6. С. 980.
36. Иванов В.В., Шабельская Н.П., Таланов В.М. // Современные научноемкие технологии. 2010. № 10. С. 176.
37. Иванов В.В., Демьян В.В., Таланов В.М. // Междунар. журн. эксперим. образования. 2010. № 11. С. 153.
38. Иванов В.В., Таланов В.М. // Наносистемы: физика, химия, математика. 2010. Т. 1. № 1. С. 72.
39. Иванов В.В., Таланов В.М., Гусаров В.В. // Наносистемы: физика, химия, математика. 2011. Т. 2. № 2. С. 282.
40. Фракталы в физике / Под ред. Пьетронеро Л., Тозатти Э. М.: Мир, 1988. 420 с.
41. Федор Е. Фракталы. М.: Мир, 1991. 260 с.
42. Whyte L.L., Wilson F.C., Wilson D. Hierarchical Structures. New York: Elsevier, 1990.
43. Mandelbrot B.B. The Fractal Geometry of Nature. M.H. Freeman and Co. 1982. 468 р.
44. Falconer K.J. Fractal Geometry. Mathematical Foundations and Applications. J. Wiley and Sons, 1995. 352 р.
45. Роддигин В.И. // Успехи химии. 2003. Т. 72. № 10. С. 931.
46. Peitgen H.G., Richter T. The Beauty of Fractals. New York: Springer, 1986.
47. Sander L.M. // Sci. Am. 1987. V. 256. P. 94.
48. Prusinewicz P. Lindenmayer A. The algorithmic Beauty of Plants. New York: Springer, 1990.
49. Бурбаки Н. Теория множеств. М.: Мир, 1965. 455 с.
50. Биркгоф Г., Барти Т. Современная прикладная алгебра. М.: Мир, 1976. 400 с.
51. Общая алгебра. В 2-х т. / Под ред. Скорнякова Л.А. М.: Наука, 1990. Т. 1. 592 с.; 1991. Т. 2. 480 с.
52. Смирнова Н.Л. // Кристаллография. 2009. Т. 54. № 5. С. 789.
53. Современная кристаллография. В 4-х т. Симметрия кристаллов. Методы структурной кристаллографии. М.: Наука, 1980. Т. 1. 524 с.